

Università degli studi di Bergamo

Scuola di Ingegneria (Dolmine)

CCS Ingegneria Edile

L-23 Ingegneria delle Tecnologie per l'Edilizia

Scienza delle Costruzioni

( ICAR/08 - SdC ; 9 CFU )

A.A. 2022/2023

prof. Egidio RIZZI

[egidio.rizzi@unibg.it](mailto:egidio.rizzi@unibg.it)

LEZIONE 18

## 2) Criterio di resistenza di de Saint Venant - Grashof

- Concetto: analogamente a G.-R.-N., assume come G.I.P. la deformazione normale massime (e minima):

$$-\varepsilon_c \leq \varepsilon_n^{\min}, \quad \varepsilon_n^{\max} \leq \varepsilon_+ \quad \text{e} \rightarrow \varepsilon_I, \varepsilon_{II}, \varepsilon_{III}$$

"traduzione"  
-  $\varepsilon_c \leq \varepsilon_1 \leq \varepsilon_T$

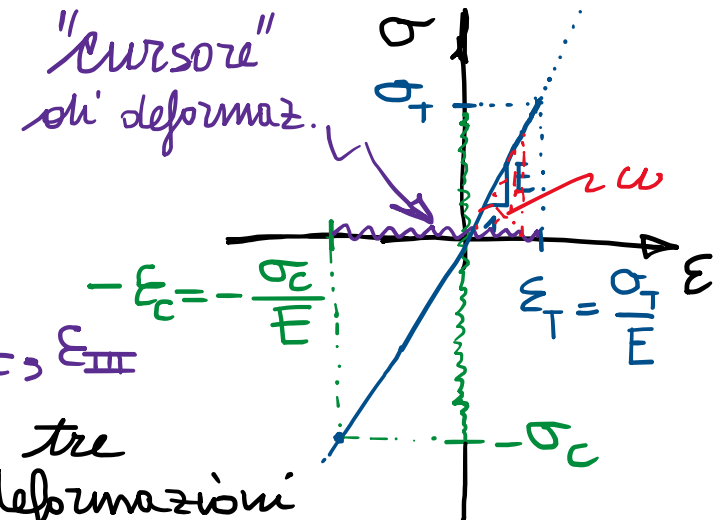
- Trasformazione del criterio nel dominio degli sforzi  
tramite legge costit. (Hooke generalizzata)  $\varepsilon_n^{\min} = \varepsilon_{III} \leq \varepsilon_{II} \leq \varepsilon_I = \varepsilon_n^{\max}$

$$-\frac{\sigma_c}{E} = -\varepsilon_c \leq \frac{\sigma_1}{E} - \nu \left( \frac{\sigma_j + \sigma_k}{E} \right) \leq \varepsilon_T = \frac{\sigma_T}{E}$$

$$-\sigma_c \leq \underbrace{\sigma_1 - \nu(\sigma_j + \sigma_k)}_{\sigma_{eq}(\Phi, \xi)} \leq \sigma_T$$

N.B.: criterio fondato sulle deformazioni dipendente da  $\sigma_{eq}(\Phi, \xi)$

dipendente da  $\nu$  (coefficiente di contrazione trasversale  
o di Poisson)  
(un parametro elastico:  $\nu$ )



6 diseguaglianze nello spazio degli sforzi principali  $\sigma_I, \sigma_{II}, \sigma_{III}$

N.B.  $-1 < \nu \leq \nu < \frac{1}{2}$   
materiali ingegneristici

- Per stato di spacco piano (ad es.  $\sigma_{III} = 0$ ), le 6 disequazioni si vengono:

$$-\sigma_c \leq \sigma_I - \nu \sigma_{II} \leq \sigma_T$$

$$-\sigma_c \leq \sigma_{II} - \nu \sigma_I \leq \sigma_T$$

$$-\sigma_c \leq -\nu(\sigma_I + \sigma_{II}) \leq \sigma_T$$

- Dominio di resistenza: intersezione di due triangoli isosceli, dipendenti da  $\sigma_T$ ,  $\sigma_c$ ;  $\nu$ .

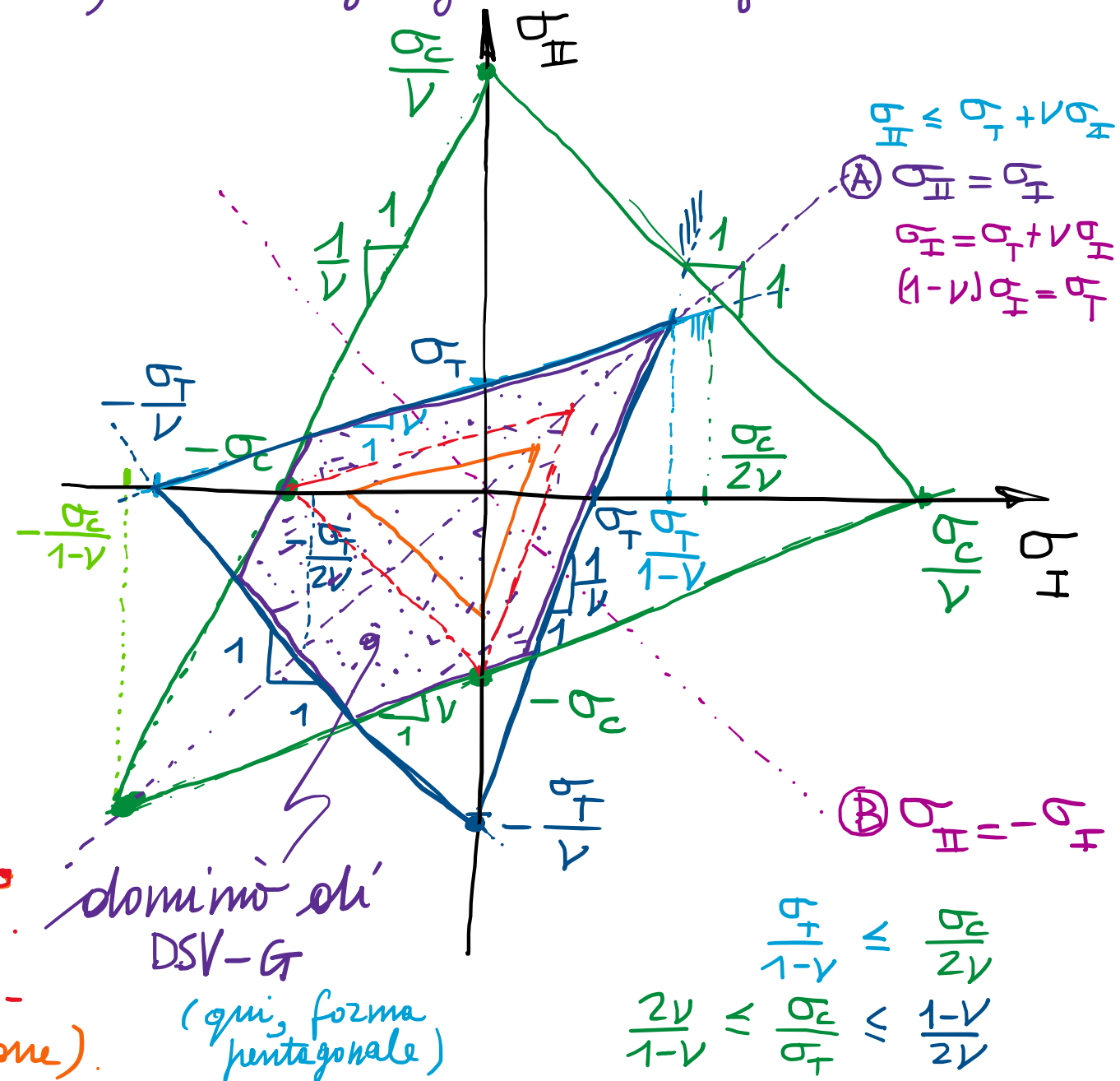
- Forma rombica se:

$$\frac{2\nu}{1-\nu} \leq \frac{\sigma_c}{\sigma_T} \leq \frac{1-\nu}{2\nu}$$

$$\frac{\sigma_T}{\nu} = \sigma_c$$

$$\sigma_T = \nu \sigma_c$$

- Più cadere in difetto se  $\sigma_T < \nu \sigma_c$ , per materiali con marcato comportamento asimmetrico a trazione/compressione (non raggiungibile la resist. a compressione).

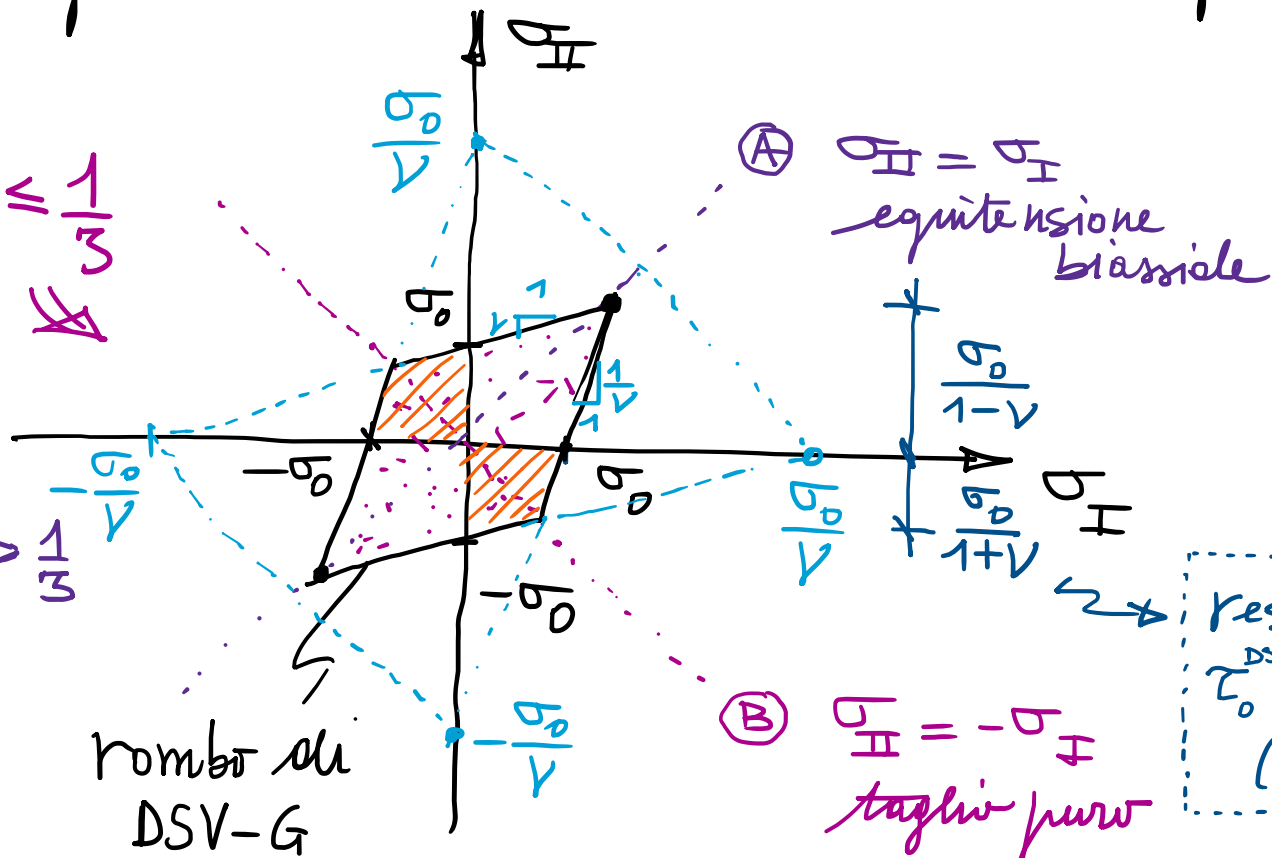


- Per materiali a comportamento simmetrico a trazione/compressione, cioè con  $\sigma_0 = \sigma_T = \sigma_C$ :

- Forma rombica:  $\nu \leq \frac{1}{3}$

$$\frac{2\nu}{1-\nu} \leq 1 \leq \frac{1-\nu}{2\nu}$$

- Forma esagonale:  $\nu > \frac{1}{3}$



- Utilizzato per le verifiche di resistenza in presenza di stati di sforzo alle de Saint Venant (vedi pb. di DSV), caratterizzati da tensioni principali di segno opposto:  $\sigma_I \cdot \sigma_{II} \leq 0$ .
- Recepisce il diverso (maggiore) livello di pericolosità di stati (B) vs. (A).

resistenza e taglio  
 $T_0^{\text{DSV-G}}$  secondo DSV-G  
 (dipend. da  $\nu$ )

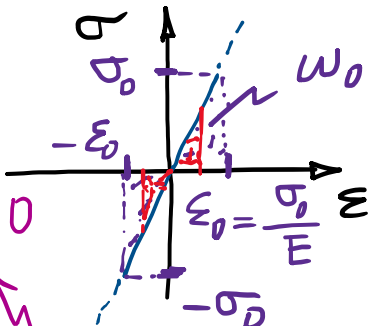
piano

3) Criterio di Beltrami (per materiali a comportamento simmetrico traz./comp.).

- Di sensibilità energetica, assume come G.I.P. l'energia di deformazione elastica:

$$\omega = \frac{1}{2} \sigma : \epsilon \leq \omega_0 = \text{valore ammesso a limite elastico}$$

$$= \frac{1}{2} \sigma_0 \epsilon_0 \quad (\text{da prova monoassiale}) = \frac{1}{2} \frac{\sigma_0^2}{E} > 0$$



- Nel calcolo degli sforzi, esprimendo  $\epsilon$  tramite legge costitutiva:

quadratico in  $\sigma$

$$\epsilon = -\frac{\nu}{E} \operatorname{tr} \sigma \mathbb{I} + \frac{1+\nu}{E} \sigma \quad [\text{legge di Hooke generalizzata}]$$

indipendentemente  
del segno dello  
stato di sforzo

$$\omega = \frac{1}{2} \left( -\frac{\nu}{E} \operatorname{tr} \sigma \underbrace{\sigma : \mathbb{I}}_{\operatorname{tr} \sigma} + \frac{1+\nu}{E} \underbrace{\sigma : \sigma}_{\sigma_{ij} \sigma_{ij}} \right) \quad \text{rif. princ. } [\sigma] = \begin{bmatrix} \sigma_I \\ \sigma_{II} \\ \sigma_{III} \end{bmatrix}$$

$$(\operatorname{tr} \sigma)^2 = (\sigma_I + \sigma_{II} + \sigma_{III})^2 = \sigma_I^2 + \sigma_{II}^2 + \sigma_{III}^2 + 2(\sigma_I \sigma_{II} + \sigma_{II} \sigma_{III} + \sigma_I \sigma_{III}) \sim \sigma^2$$

$$\sigma : \sigma = \sigma_I^2 + \sigma_{II}^2 + \sigma_{III}^2$$

$$= \frac{1}{2} \frac{1}{E} \left[ \underbrace{\sigma_I^2 + \sigma_{II}^2 + \sigma_{III}^2}_{\sigma_{eq}^2} - 2\nu(\sigma_I \sigma_{II} + \sigma_{II} \sigma_{III} + \sigma_I \sigma_{III}) \right] \leq \frac{1}{2} \frac{\sigma_0^2}{E}$$

misensibili al  
segno dello  
stato di sforzo

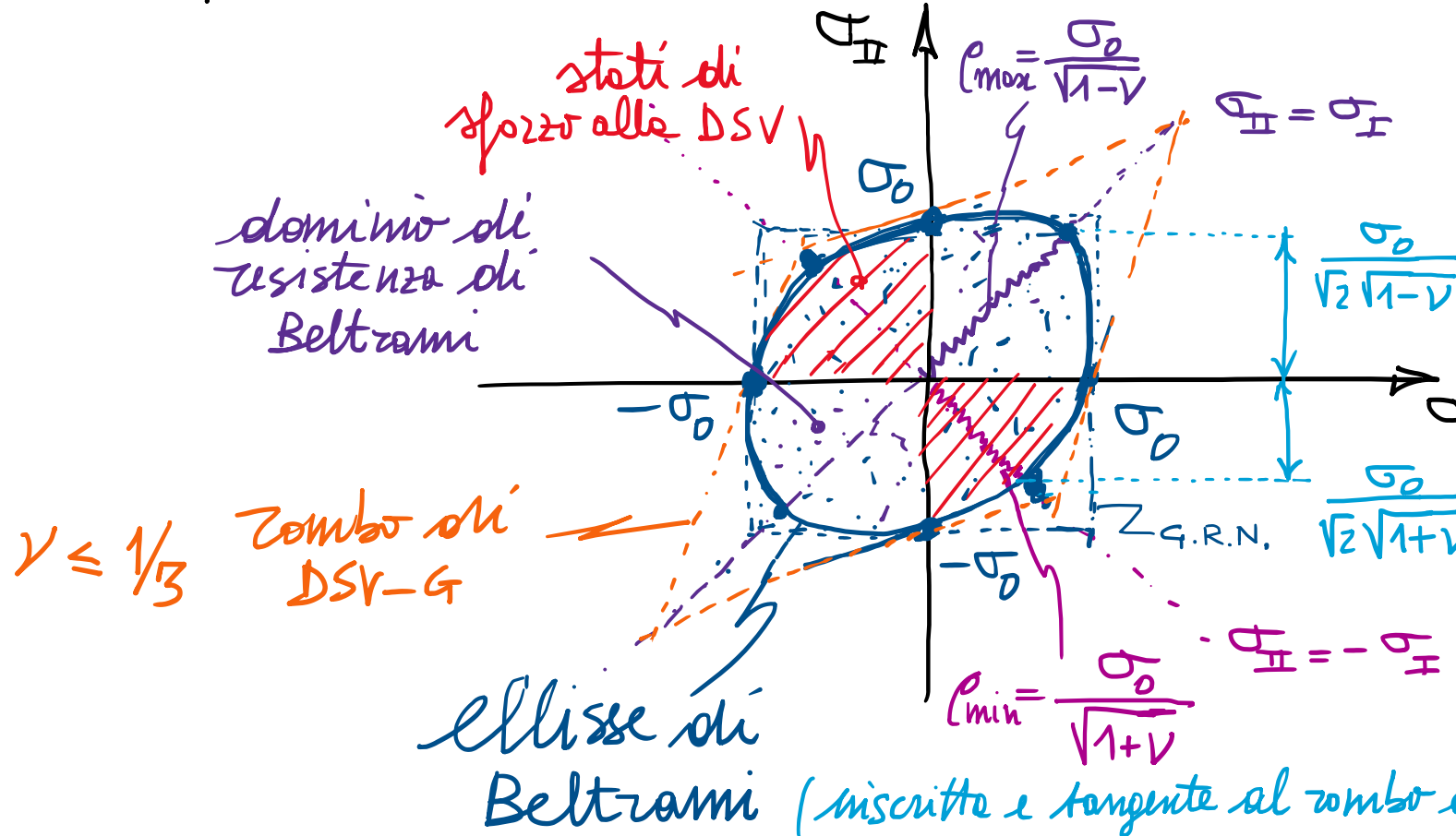
teg  
di  
Beltrami

$$\sigma_{eq} = \sqrt{\sigma_I^2 + \sigma_{II}^2 + \sigma_{III}^2 - 2\nu(\sigma_I \sigma_{II} + \sigma_{II} \sigma_{III} + \sigma_I \sigma_{III})} \leq \sigma_0$$

ellissoidi nello spazio  $\sigma_I, \sigma_{II}, \sigma_{III}$   
(dipendente da  $\nu$ )

- Nel caso di stato di sforzo piano (ad es.  $\sigma_{III} = 0$ )

$$\sigma_{eq}^B = \sqrt{\sigma_I^2 + \sigma_{II}^2 - 2\nu\sigma_I\sigma_{II}} \leq \sigma_0$$



$\sigma_I^2 + \sigma_{II}^2 - 2\nu\sigma_I\sigma_{II} = \sigma_0^2$   
 eq. ne di ellisse ruotata di  $45^\circ$ , simmetrica rispetto alle bisettrici, di semiassi  $\sigma_{max}$  e  $\sigma_{min}$

$$\text{per } \nu \rightarrow 1/2 : \begin{aligned} \sigma_{max} &= \sqrt{2}\sigma_0 \\ \sigma_{min} &= \sqrt{\frac{2}{3}}\sigma_0 \end{aligned}$$

- Utile a rappresentare la verifica di resistenza per materiali a comport. simmetrici, per stato di sforzo piano (non soltanto per stati di sforzo triassiali), in particolare alla DSV, con  $\sigma_I \cdot \sigma_{II} \leq 0$ .

4) Criterio di Huber-Hencky-von Mises  $\Leftrightarrow$  per materiali metallici ( $\sigma_0 = \sigma_T = \sigma_c$ )

- Ancore di significato energetico ma considera le sole energie deviatoriche ai fini del raggiungimento (dell'uscita) del limite elastico del materiale (osservazione sperimentale) [celle triassiali]

$\downarrow$  Beltrami  $\downarrow$  von Mises  
- Assume come G.I.P. l'energia deviatorica: ( $\omega = \omega_v + \omega_d$ )

$$\omega_d = \frac{1}{2} \mathbb{S} : \mathbb{E} \leq \omega_d^0 \quad (\text{per es. con rif. ad una prova monoassiale di taz.})$$

- Nel dominio degli sforzi, da legge cost. (deviatorica)  $\mathbb{E} = \frac{\mathbb{S}}{2G}$ ;  $G = \frac{E}{2(1+\nu)}$

$$\omega_d = \left[ \frac{1}{2} \mathbb{S} : \frac{\mathbb{S}}{2G} \right] = \frac{3 J_2}{32G} = \frac{3 J_2}{6G} \leq \frac{3 J_2^0}{6G} \Rightarrow \sigma_{eq}^M = \sqrt{3 J_2} \leq \sqrt{3 J_2^0} = \sigma_0$$

Ove:

$$\mathbb{S} = \sigma - \frac{\operatorname{tr} \sigma}{3} \mathbb{I}$$

deviatore  
di sforzi

$$P = \frac{\sigma_I + \sigma_{II} + \sigma_{III}}{3} \quad \text{tensione media}$$

invariante  
secondo  
del deviatore

$$J_2 = \frac{1}{2} \mathbb{S} : \mathbb{S} = \frac{1}{2} S_{ij} S_{ij} = \frac{1}{2} \operatorname{tr} \mathbb{S}^2 = \frac{1}{2} \sum_i S_i^2$$

rif.  
princ.

$$[\mathbb{S}]^2 = \begin{bmatrix} (\sigma_I - P)^2 \\ (\sigma_{II} - P)^2 \\ (\sigma_{III} - P)^2 \end{bmatrix}$$

$$S_1 = \sigma_I - P$$

- Sviluppando, si ottiene:

$$\begin{aligned}
 3J_2 &= \frac{3}{2} \left[ (\sigma_I - p)^2 + (\sigma_{II} - p)^2 + (\sigma_{III} - p)^2 \right] \\
 &= \frac{3}{2} \left[ \sigma_I^2 + \sigma_{II}^2 + \sigma_{III}^2 + \underbrace{3p^2 - 3 \cdot 2p \left( \frac{\sigma_I + \sigma_{II} + \sigma_{III}}{3} \right)}_{-3p^2 = -\frac{3}{3}(\sigma_I + \sigma_{II} + \sigma_{III})^2} \right] \\
 &= \cancel{\frac{3}{2}} \left[ \cancel{\frac{1}{3}} [3(\sigma_I^2 + \sigma_{II}^2 + \sigma_{III}^2) - (\sigma_I + \sigma_{II} + \sigma_{III})^2] \right] \\
 &= \sigma_I^2 + \sigma_{II}^2 + \sigma_{III}^2 - (\sigma_I \sigma_{II} + \sigma_{II} \sigma_{III} + \sigma_I \sigma_{III}) \rightarrow \sigma_I = \sigma_0; \sigma_{II} = \sigma_{III} = 0 \\
 &\quad 3J_2^0 = \sigma_0^2
 \end{aligned}$$

tensione equivalente di von Mises

$$\sigma_{eq}^{vM} = \sqrt{3J_2} = \sqrt{\sigma_H^2 + \sigma_I^2 + \sigma_{II}^2 - (\sigma_H\sigma_I + \sigma_I\sigma_{II} + \sigma_{II}\sigma_H)} \leq B$$

(comincia con  
151 nel caso  
monossiale)

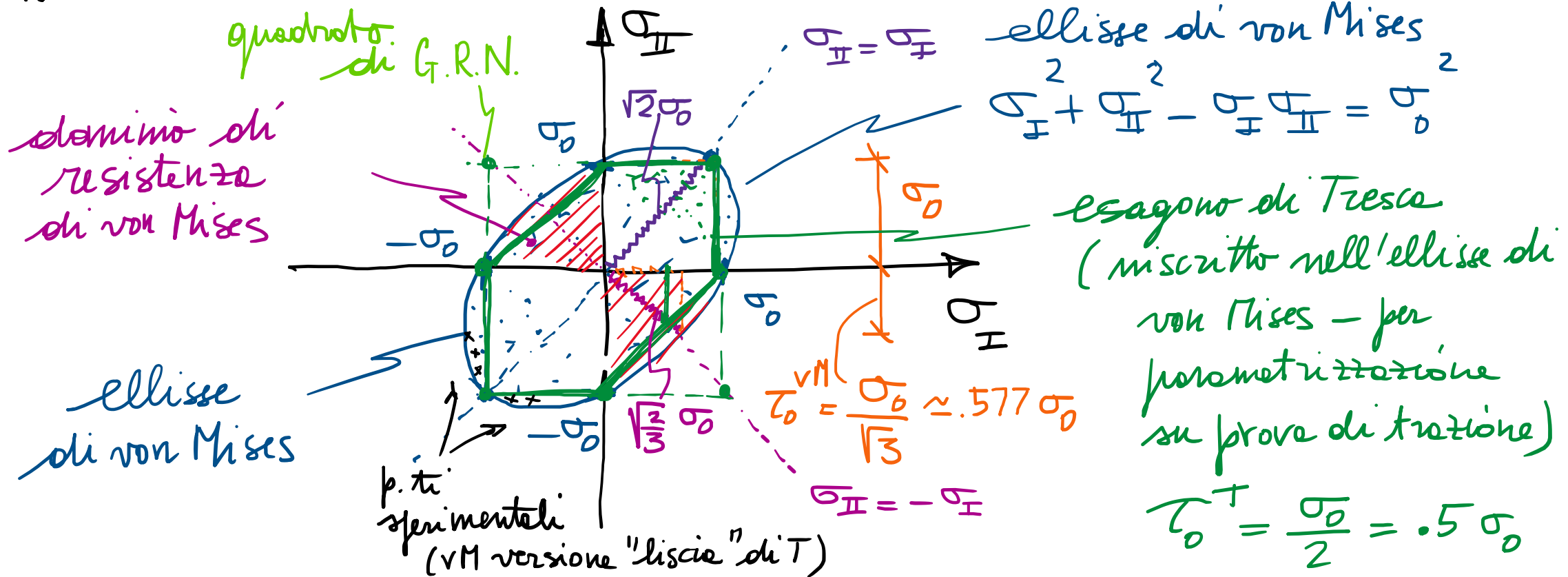
- Simile a Beltrami, con  $V \rightarrow 1/2$ , corrisponde ad annullare  $\omega_V$ ,  $\omega = \omega_D$ , per materiale incompressibile (come se fosse).

- Indipendente dai parametri elastici ( $\nu \approx 0.3$  per mat. metallici).

$$-\text{Caso pior} (\sigma_{\text{III}} = 0): \quad \sigma_{\text{eq}}^{\text{VM}} = \sqrt{\sigma_{\text{I}}^2 + \sigma_{\text{II}}^2 - \sigma_{\text{I}} \sigma_{\text{II}}} \leq \sigma_0$$

(v è assegnato  
ma  $\sigma_{\text{eg}}^M$  è  
indip. da v)

- Rappresentazione nel piano degli sforzi principali:



- Idoneo a rappresentare le verifiche di resistenza (e il criterio di plasticità) per materiali metallici, sottoposti a stati di sforzo generici, anche trassiali, nonché per sforzi piani, in particolare alle DSV ( $\sigma_I \cdot \sigma_{II} \leq 0$ ) - Interpretate correttamente l'usura del campo elastico per stati tensio-deformativi deviatorici.

## 5) Criterio di Guest-Tresca (materiali metallici)

- Duele di G.R.N., sempre nel dominio degli sforzi, ma individuano come critici, gli sforzi tangenti, cioè le  $\tau^{\max}$ :  $\rightarrow$  G.I.P.

$$\tau^{\max} \leq \tau_0 \text{ resist. a taglio del materiale}$$

- Cerchi di Mohr (e Arbelo di Mohr):

$$\tau^{\max} = \max \left\{ R_I = \frac{|\sigma_I - \sigma_K|}{2} \right\} \leq \tau_0 = \frac{\sigma_0}{2}$$

$$-\sigma_0 \leq \sigma_I - \sigma_K \leq \sigma_0$$

$$-\sigma_0 \leq \sigma_{II} - \sigma_K \leq \sigma_0$$

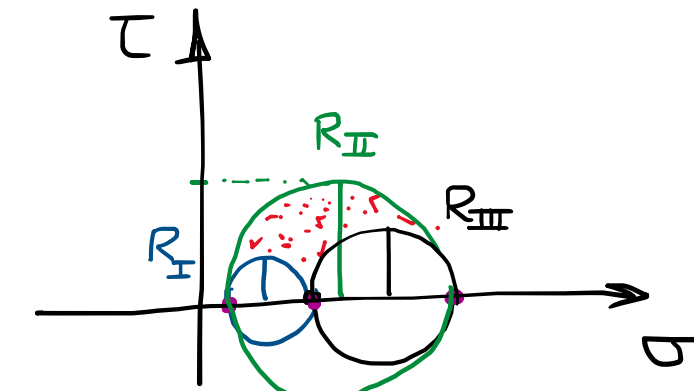
$$-\sigma_0 \leq \sigma_{III} - \sigma_K \leq \sigma_0$$

6 disegnazioni

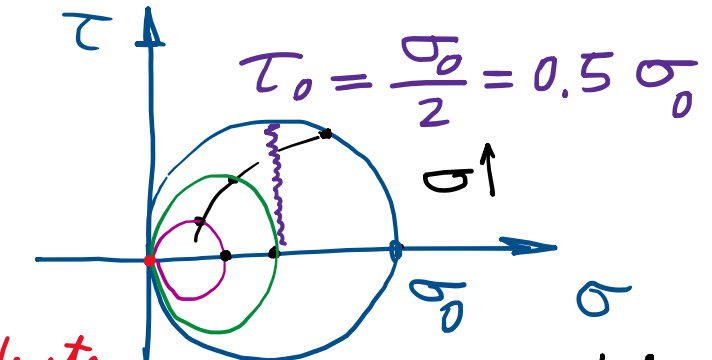
- Caso piano  $\sigma_{III}=0$   $\sigma_{eq}^+$

Vedi G.R.N.

$\rightarrow$  rappresentazione a pagina precedente  
(esagono di Tresca)



$$\sigma_{III} \leq \sigma_{II} \leq \sigma_I$$



Osservaz. sperimentale:  
p.ti  $(\sigma_I, \sigma_{III})$  tra  $\sigma_0$  e  $T$